

# Starkniederschlagshöhen und -spenden gemäß KOSTRA-DWD-2020

## Rasterfeld 155145

(Zeile 155, Spalte 145)

### Regenspende und Bemessungsniederschlagswerte in Abhängigkeit von Wiederkehrzeit T und Dauerstufe D

| Dauerstufe D |     | Wiederkehrzeit T |            |      |            |      |            |      |            |       |            |       |            |       |            |       |            |       |            |
|--------------|-----|------------------|------------|------|------------|------|------------|------|------------|-------|------------|-------|------------|-------|------------|-------|------------|-------|------------|
|              |     | 1 a              |            | 2 a  |            | 3 a  |            | 5 a  |            | 10 a  |            | 20 a  |            | 30 a  |            | 50 a  |            | 100 a |            |
| min          | Std | mm               | l / (s ha) | mm   | l / (s ha) | mm   | l / (s ha) | mm   | l / (s ha) | mm    | l / (s ha) | mm    | l / (s ha) | mm    | l / (s ha) | mm    | l / (s ha) | mm    | l / (s ha) |
| 5            |     | 6,6              | 220,0      | 8,2  | 273,3      | 9,2  | 306,7      | 10,5 | 350,0      | 12,3  | 410,0      | 14,2  | 473,3      | 15,5  | 516,7      | 17,1  | 570,0      | 19,5  | 650,0      |
| 10           |     | 8,6              | 143,3      | 10,7 | 178,3      | 12,0 | 200,0      | 13,7 | 228,3      | 16,1  | 268,3      | 18,6  | 310,0      | 20,3  | 338,3      | 22,4  | 373,3      | 25,5  | 425,0      |
| 15           |     | 9,9              | 110,0      | 12,3 | 136,7      | 13,8 | 153,3      | 15,7 | 174,4      | 18,5  | 205,6      | 21,3  | 236,7      | 23,2  | 257,8      | 25,7  | 285,6      | 29,2  | 324,4      |
| 20           |     | 10,8             | 90,0       | 13,4 | 111,7      | 15,1 | 125,8      | 17,2 | 143,3      | 20,2  | 168,3      | 23,4  | 195,0      | 25,4  | 211,7      | 28,1  | 234,2      | 32,0  | 266,7      |
| 30           |     | 12,2             | 67,8       | 15,2 | 84,4       | 17,0 | 94,4       | 19,4 | 107,8      | 22,8  | 126,7      | 26,4  | 146,7      | 28,7  | 159,4      | 31,7  | 176,1      | 36,1  | 200,6      |
| 45           |     | 13,7             | 50,7       | 17,0 | 63,0       | 19,0 | 70,4       | 21,7 | 80,4       | 25,6  | 94,8       | 29,6  | 109,6      | 32,2  | 119,3      | 35,6  | 131,9      | 40,5  | 150,0      |
| 60           | 1   | 14,8             | 41,1       | 18,4 | 51,1       | 20,6 | 57,2       | 23,5 | 65,3       | 27,7  | 76,9       | 32,0  | 88,9       | 34,8  | 96,7       | 38,5  | 106,9      | 43,8  | 121,7      |
| 90           | 1,5 | 16,5             | 30,6       | 20,5 | 38,0       | 23,0 | 42,6       | 26,2 | 48,5       | 30,9  | 57,2       | 35,6  | 65,9       | 38,8  | 71,9       | 42,9  | 79,4       | 48,8  | 90,4       |
| 120          | 2   | 17,9             | 24,9       | 22,1 | 30,7       | 24,8 | 34,4       | 28,3 | 39,3       | 33,3  | 46,3       | 38,5  | 53,5       | 41,8  | 58,1       | 46,3  | 64,3       | 52,6  | 73,1       |
| 180          | 3   | 19,8             | 18,3       | 24,6 | 22,8       | 27,5 | 25,5       | 31,4 | 29,1       | 37,0  | 34,3       | 42,7  | 39,5       | 46,5  | 43,1       | 51,4  | 47,6       | 58,5  | 54,2       |
| 240          | 4   | 21,4             | 14,9       | 26,5 | 18,4       | 29,7 | 20,6       | 33,8 | 23,5       | 39,8  | 27,6       | 46,0  | 31,9       | 50,1  | 34,8       | 55,4  | 38,5       | 63,0  | 43,8       |
| 360          | 6   | 23,7             | 11,0       | 29,4 | 13,6       | 32,9 | 15,2       | 37,5 | 17,4       | 44,2  | 20,5       | 51,1  | 23,7       | 55,6  | 25,7       | 61,5  | 28,5       | 69,9  | 32,4       |
| 540          | 9   | 26,3             | 8,1        | 32,6 | 10,1       | 36,5 | 11,3       | 41,6 | 12,8       | 49,0  | 15,1       | 56,6  | 17,5       | 61,6  | 19,0       | 68,2  | 21,0       | 77,5  | 23,9       |
| 720          | 12  | 28,3             | 6,6        | 35,1 | 8,1        | 39,3 | 9,1        | 44,8 | 10,4       | 52,7  | 12,2       | 60,9  | 14,1       | 66,3  | 15,3       | 73,3  | 17,0       | 83,4  | 19,3       |
| 1080         | 18  | 31,4             | 4,8        | 38,9 | 6,0        | 43,5 | 6,7        | 49,6 | 7,7        | 58,5  | 9,0        | 67,5  | 10,4       | 73,5  | 11,3       | 81,3  | 12,5       | 92,5  | 14,3       |
| 1440         | 24  | 33,7             | 3,9        | 41,8 | 4,8        | 46,8 | 5,4        | 53,4 | 6,2        | 62,9  | 7,3        | 72,7  | 8,4        | 79,1  | 9,2        | 87,4  | 10,1       | 99,5  | 11,5       |
| 2880         | 48  | 40,2             | 2,3        | 49,8 | 2,9        | 55,8 | 3,2        | 63,6 | 3,7        | 74,9  | 4,3        | 86,6  | 5,0        | 94,2  | 5,5        | 104,2 | 6,0        | 118,5 | 6,9        |
| 4320         | 72  | 44,5             | 1,7        | 55,2 | 2,1        | 61,8 | 2,4        | 70,5 | 2,7        | 83,0  | 3,2        | 95,9  | 3,7        | 104,4 | 4,0        | 115,5 | 4,5        | 131,3 | 5,1        |
| 5760         | 96  | 47,9             | 1,4        | 59,4 | 1,7        | 66,5 | 1,9        | 75,8 | 2,2        | 89,3  | 2,6        | 103,2 | 3,0        | 112,3 | 3,2        | 124,2 | 3,6        | 141,2 | 4,1        |
| 7200         | 120 | 50,7             | 1,2        | 62,8 | 1,5        | 70,4 | 1,6        | 80,2 | 1,9        | 94,5  | 2,2        | 109,2 | 2,5        | 118,8 | 2,8        | 131,4 | 3,0        | 149,4 | 3,5        |
| 8640         | 144 | 53,1             | 1,0        | 65,8 | 1,3        | 73,7 | 1,4        | 84,0 | 1,6        | 98,9  | 1,9        | 114,3 | 2,2        | 124,4 | 2,4        | 137,6 | 2,7        | 156,5 | 3,0        |
| 10080        | 168 | 55,2             | 0,9        | 68,4 | 1,1        | 76,6 | 1,3        | 87,4 | 1,4        | 102,9 | 1,7        | 118,8 | 2,0        | 129,3 | 2,1        | 143,0 | 2,4        | 162,7 | 2,7        |

# Starkniederschlagshöhen und -spenden gemäß KOSTRA-DWD-2020

## Rasterfeld 155145

(Zeile 155, Spalte 145)

### Örtliche Unsicherheiten in Abhängigkeit von Wiederkehrzeit T und Dauerstufe D

| Dauerstufe D |     | Wiederkehrzeit T |     |     |     |      |      |      |      |       |
|--------------|-----|------------------|-----|-----|-----|------|------|------|------|-------|
|              |     | 1 a              | 2 a | 3 a | 5 a | 10 a | 20 a | 30 a | 50 a | 100 a |
| min          | Std | ± %              | ± % | ± % | ± % | ± %  | ± %  | ± %  | ± %  | ± %   |
| 5            |     | 11               | 12  | 13  | 13  | 14   | 15   | 15   | 15   | 16    |
| 10           |     | 13               | 15  | 16  | 17  | 18   | 19   | 19   | 20   | 20    |
| 15           |     | 15               | 17  | 18  | 19  | 20   | 21   | 21   | 22   | 23    |
| 20           |     | 16               | 18  | 19  | 20  | 21   | 22   | 23   | 23   | 24    |
| 30           |     | 17               | 19  | 20  | 21  | 22   | 23   | 24   | 24   | 25    |
| 45           |     | 17               | 20  | 21  | 22  | 23   | 24   | 24   | 25   | 26    |
| 60           | 1   | 17               | 19  | 21  | 22  | 23   | 24   | 24   | 25   | 26    |
| 90           | 1,5 | 17               | 19  | 20  | 21  | 22   | 23   | 24   | 24   | 25    |
| 120          | 2   | 16               | 18  | 19  | 21  | 22   | 23   | 23   | 24   | 24    |
| 180          | 3   | 15               | 17  | 18  | 19  | 21   | 22   | 22   | 23   | 23    |
| 240          | 4   | 14               | 16  | 17  | 19  | 20   | 21   | 21   | 22   | 23    |
| 360          | 6   | 13               | 15  | 16  | 17  | 19   | 20   | 20   | 21   | 21    |
| 540          | 9   | 13               | 14  | 15  | 16  | 18   | 19   | 19   | 20   | 20    |
| 720          | 12  | 12               | 14  | 15  | 16  | 17   | 18   | 18   | 19   | 19    |
| 1080         | 18  | 12               | 13  | 14  | 15  | 16   | 17   | 17   | 18   | 18    |
| 1440         | 24  | 12               | 13  | 14  | 14  | 15   | 16   | 17   | 17   | 18    |
| 2880         | 48  | 12               | 13  | 13  | 14  | 15   | 15   | 16   | 16   | 17    |
| 4320         | 72  | 13               | 13  | 14  | 14  | 15   | 15   | 15   | 16   | 16    |
| 5760         | 96  | 14               | 14  | 14  | 14  | 15   | 15   | 15   | 16   | 16    |
| 7200         | 120 | 15               | 15  | 15  | 15  | 15   | 15   | 16   | 16   | 16    |
| 8640         | 144 | 16               | 15  | 15  | 15  | 15   | 16   | 16   | 16   | 16    |
| 10080        | 168 | 16               | 16  | 15  | 16  | 16   | 16   | 16   | 16   | 17    |

### Parameter für abweichende T und D

#### Lokationsparameter $\xi$ (Xi)

15,13825108

#### Skalenparameter $\alpha$ (Alpha)

5,04567403

#### Formparameter $\kappa$ (Kappa)

-0,1

#### 1. Koutsoyiannis-Parameter $\theta$ (Theta)

0,02564378

#### 2. Koutsoyiannis-Parameter $\eta$ (Eta)

0,74745674

Parameter für dauerstufenübergreifende Extremwertschätzung nach KOUTSOYIANNIS et al. 1998.

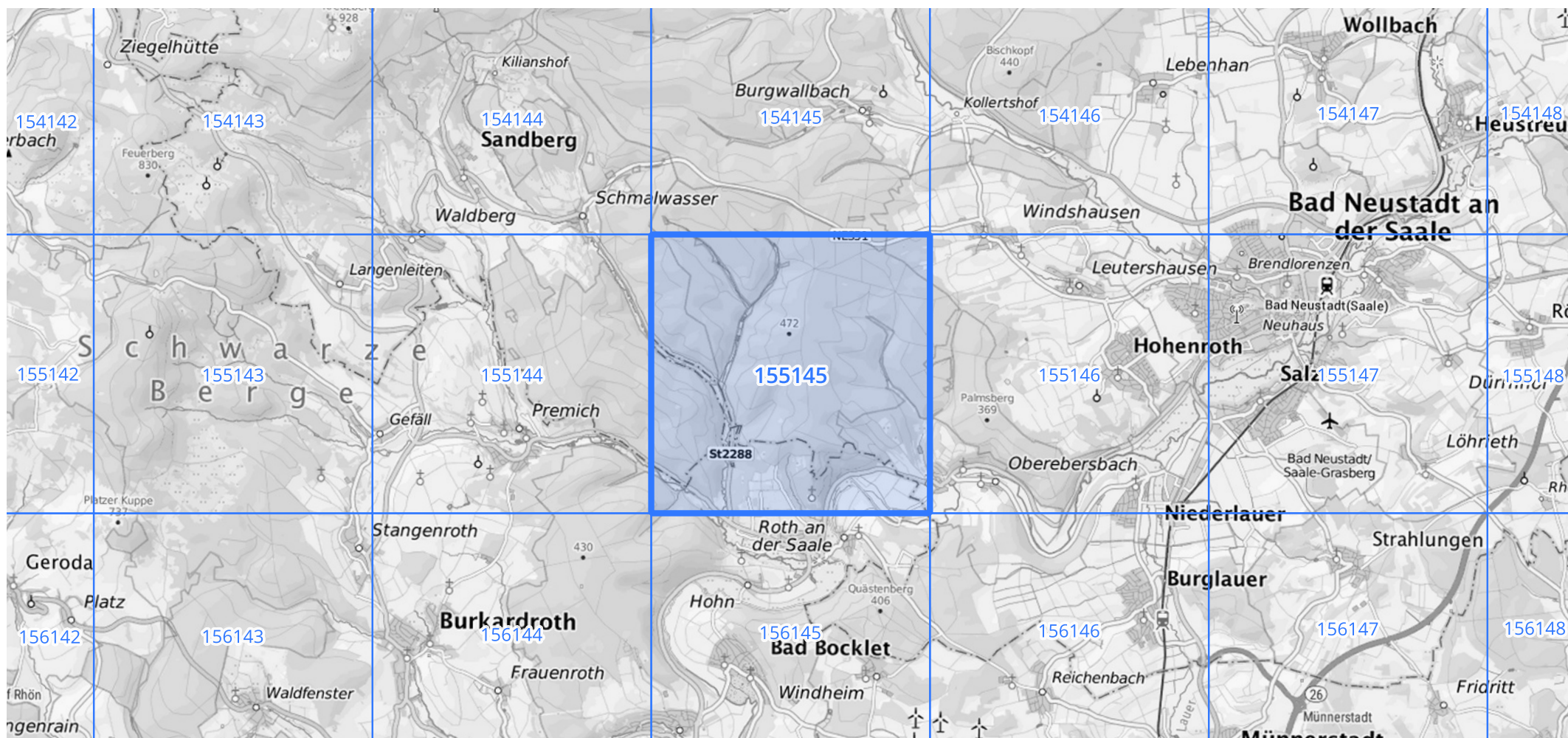
Siehe auch Anwendungshilfe zu KOSTRA-DWD-2020 des Deutschen Wetterdienstes.

# Starkniederschlagshöhen und -spenden gemäß KOSTRA-DWD-2020

## Rasterfeld 155145

(Zeile 155, Spalte 145)

Übersichtskarte des Rasterfeldes 155145, M 1 : 100 000



Quelle Rasterdaten: KOSTRA-DWD-2020 des Deutschen Wetterdienstes, Stand 12/2022.

Seite 3 von 3

Kartendarstellung: © Bundesamt für Kartographie und Geodäsie (2023), Datenquellen: [https://sgx.geodatenzentrum.de/web\\_public/gdz/datenquellen/Datenquellen\\_TopPlusOpen.html](https://sgx.geodatenzentrum.de/web_public/gdz/datenquellen/Datenquellen_TopPlusOpen.html)

Für die Richtigkeit und Aktualität der Angaben wird keine Gewähr übernommen. Erstellt 01/2023.